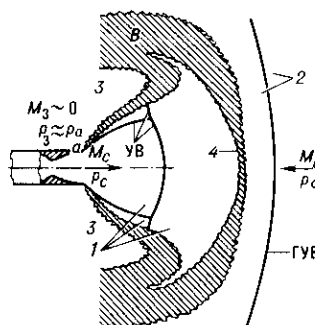


ке $x_{\text{нв}}$, а иногда выходят за её пределы. В большинстве расчётных методик обычно рассматривают только первую «бочку», поскольку она содержит наиб. интенсивные ударные волны, а дальнейшее течение считают изобарическим.

Свообразная картина течения возникает при истечении сверхзвуковой С. большой нерасчётности в сверхзвуковой встречный поток (рис. 4 и 5). Рассматривая движение от-

Рис. 4. Схема течения в сверхзвуковой струе, вытекающей во встречный поток: 1—область течения газа, выходящего из сопла; 2—область встречного потока; 3—область застоечного течения; 4—«критическая» точка; В—область вязкого перемешивания.



носительно сопла, из к-рого вытекает С., можно выделить 3 характерные области: область 1, в к-рой газ вытекает из сопла, с числом M_1 при давлении p_c . В этой области расположена система ударных волн—УВ (рис. 4), близкая по форме к системе волн, наблюдающейся в сверхзвуковой затупленной С. большой нерасчётности n . Область 2 встречного потока, в к-ром перед головной ударной волной (ГУВ) число Маха— M_a и статич. давление— p_a . Область 3, к-рую приближённо можно рассматривать как застоечную с числом $M_3 \sim 0$ и давлением $p_3 \approx p_a$. Вблизи границы течения в С. и областях внеи. пространства 2 и 3 образуется слой вязкого перемешивания В. Обтекание внешн. газом области течения в С. аналогично картине обтекания сверхзвуковым потоком затупленного тела. Течение в области точки 4 близко к течению вблизи критич. точки затупленного тела.

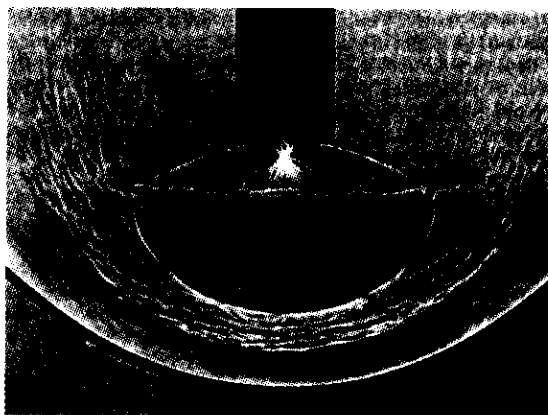


Рис. 5. Теневая фотография сверхзвуковой струи, вытекающей во встречный поток.

Информация о распределении скорости, темп-ры, концентрации компонентов в сечениях С., расположенных на выбранном расстоянии от среза сопла, необходима для определения силовых и тепловых нагрузок на стартовые сооружения и элементы конструкций ракетных и самолётных комплексов, на лопатки газовых турбин и др. Та же информация необходима для расчёта излучения С. в широком диапазоне длин эл.-магн. волн. Существенно также акустич. поле, возникающее в области распространения С.. к. т. турбулентная С. генерирует и акустич. волны. Акустич. мощность, излучаемая С. реактивного двигателя, составляет ок. 1% от общей мощности двигателя: она пропорциональна восьмой степени скорости потока у сре-

за сопла. Уровень шума достигает 150—165 дБ, а спектр частот охватывает более 7 октав.

Разработано большое кол-во полуэмпирич. и численных методов расчёта течения в газовых С., использующих ЭВМ и дающих возможность рассчитать турбулентные и ламинарные, дозвуковые и сверхзвуковые, в т. ч. нерасчётные, С. с учётом двухфазности, хим. реакций в слое смешения, неравновесности течения и др. Однако поставленная задача не является решённой окончательно. Даже самые совершенные расчётные методы используют для получения решения эмпирич. законы турбулентного перемешивания, скорости хим. реакций, интенсивности излучения, полученные в условиях, не позволяющих считать эти законы универсальными.

Лит.: Ландау Л. Д., Лифшиц Е. М., Гидродинамика, 4 изд., М., 1988; Теория турбулентных струй, 2 изд., М., 1984; Карпман И. М., Истечение недорасширенной струи во встречный сверхзвуковой и дозвуковой поток, «Изв. АН СССР, МЖГ», 1977, № 1, с. 89; Сверхзвуковые неизобарические струи газа, М., 1985; Газодинамика сверхзвуковых неизобарических струй, М., 1989.

М. Я. Юделович

СТРУЯ АДРОННАЯ—рождённая в одном акте взаимодействия группа адронов, для к-рых продольная по отношению к суммарному импульсу компонента импульса каждого адрона много больше его поперечной компоненты. Релятивистским образом С. а. служит изолированная в пространстве скоростей (см. Относительности теория) группа адронов с минимальным в её системе центра масс (с. ц. м.) среднеквадратичным поперечным импульсом по отношению к нек-рому направлению, называемому осью струи. Это условие служит фактически критерием выбора С. а.

По совр. представлениям, С. а. представляет собой продукты фрагментации (превращения) в адроны квarks, глюонов и, возможно, др. партонов (напр., ликварков), обладающих цветовым зарядом и не наблюдаемых в свободном состоянии (см. Удержание цвета).

Чётко выделенные С. а. наблюдаются в неупругих жёстких процессах при высоких энергиях сталкивающихся частиц. Так, 2- и 3-струйные события хорошо наблюдаются при аннигиляции электрона и позитрона, 4-струйные—при аннигиляции протона и антипротона (рис. 1). Эфф. сечения рождения и их характеристические черты хорошо описываются квантовой хромодинамикой (КХД).

Основные характеристики С. а.—распределение адронов по поперечному импульсу, к-рое имеет экспоненц. характер со ср. поперечным импульсом прибл. 300 ГэВ/с, и распределение по доле ε продольного импульса по отношению к полному импульсу струи [точнее,

$$\varepsilon = p_{\text{адр}} n / \sum_i p_{\text{адр}}^i n, \text{ где суммирование проводится по всем адронам струи с 4-импульсами } p_{\text{адр}}, \text{ а } n \text{—светоподобный (нулевой) 4-вектор} (n^2=0), \text{ равный в с. ц. м. струи спиничному вектору, направленному вдоль оси струи}. \text{ При этом глюонные струи имеют больший ср. поперечный импульс, большую множественность и более мягкое распределение}$$



Рис. 1. Стереофотография адронных струй в аннигиляции протона и антипротона с энергией 900 ГэВ, полученная на большой стеримерной камере в ЦЕРНе.